

4.3.1964.

С 346.5

П - 57



ОБЪЕДИНЕННЫЙ ИНСТИТУТ ЯДЕРНЫХ ИССЛЕДОВАНИЙ

ЛАБОРАТОРИЯ ВЫСОКИХ ЭНЕРГИЙ

И.В. Поплавский, Г.Г. Тахтамышев

1528

ИМПУЛЬСНЫЕ И УГЛОВЫЕ РАСПРЕДЕЛЕНИЯ  
ВТОРИЧНЫХ ЧАСТИЦ В РАСПАДЕ  $K^0 \rightarrow 3\pi^0$

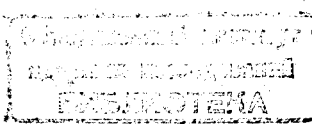
Дубна 1964

И.В. Поплавский, Г.Г. Тахтамышев

1528

ИМПУЛЬСНЫЕ И УГОЛОВЫЕ РАСПРЕДЕЛЕНИЯ  
ВТОРИЧНЫХ ЧАСТИЦ В РАСПАДЕ  $K^0 \rightarrow 3\pi^0$

230%



Дубна 1964

Трудность изучения распада  $K_2^0 \rightarrow 3\pi^0$  заключается в том, что как первичная частица, так и продукты распада нейтральны и не дают следов в трековых камерах. Поэтому представляются возможными следующие два пути получения информации об этом распаде:

1/  $\pi^0$ -мезон с вероятностью ~ 1/80 может распасться по схеме Далитца:  $\pi^0 \rightarrow e^+e^-y$ , причем импульсы электрона и позитрона могут быть с хорошей точностью измерены в камере;

2/ в пузырьковой камере с тяжелым наполнителем можно наблюдать конверсию одного или нескольких  $y$ -квантов от распада  $\pi^0$ -мезонов.

В обоих случаях кинематика не дает возможности однозначно идентифицировать распад  $K_2^0$ -мезона. Получить какую-то информацию о природе электронно-позитронной пары можно лишь сравнивая экспериментальные импульсные и угловые распределения электронов и позитронов с теоретическими распределениями.

Поскольку мы не можем перевести экспериментальные распределения в систему  $\pi^0$ -мезона, возникает задача построения теоретических спектров в лабораторной системе. С нашей точки зрения наилучшим методом получения таких спектров является метод Монте-Карло /или метод моделирования/ <sup>1/</sup>.

В случае распада  $K_2^0 \rightarrow 3\pi^0$ ,  $\pi^0 \rightarrow yy$  импульс и угол вылета  $y$ -кванта в лабораторной системе выражаются через следующие параметры:

$q_\pi$  - импульс  $\pi^0$ -мезона в системе  $K$ -мезона,

$Z_\pi$  - косинус угла вылета  $\pi$ -мезона в системе  $K$ -мезона,

$Z$  - косинус угла вылета  $y$ -кванта в системе  $\pi$ -мезона,

$p_K$  - импульс  $K$ -мезона в лабораторной системе.

Распределение вероятностей для каждой из этих величин известно, поэтому все они легко могут быть промоделированы.

Распределение  $q_\pi$  получается из статистической теории множественного рождения и имеет вид:

$$\Phi(q_\pi) dq_\pi = q_\pi^2 \left[ 1 - \frac{4\mu^2}{(M - \sqrt{q_\pi^2 + \mu^2})^2 - q_\pi^2} \right]^{\frac{1}{2}} \cdot \{(M - \sqrt{q_\pi^2 + \mu^2})^2 - q_\pi^2\}^{-\frac{1}{2}} \cdot \frac{4\mu^2}{3} \left[ 1 - \frac{4\mu^2}{(M - \sqrt{q_\pi^2 + \mu^2})^2 - q_\pi^2} \right] \frac{dq_\pi}{q_\pi},$$

где  $M$  и  $\mu$  - массы  $K$ -мезона и  $\pi$ -мезона соответственно,  $Z$  и  $Z_\pi$  распределены равномерно в интервале  $/-1,1/$ . Импульс  $K$ -мезона в данной работе брался постоянным.

Методы моделирования величины, распределение которой известно, описаны в литературе /см., например, <sup>1/</sup>/.

Таким образом, в расчете многократно моделировались данные величины, и по ним вычислялись импульсы и углы вылета  $\gamma$ -квантов. Этот процесс продолжался до тех пор, пока не достигалась достаточная статистическая точность.

Данные, полученные в результате расчета, приведены на рис. 1,2.

Распределения, относящиеся к распаду  $K_2^0 \rightarrow 3\pi^0$ ,  $\pi^0 \rightarrow e^+ e^- \gamma$ , получались аналогичным путем. Поскольку в этом случае  $\pi$ -мезон распадается на три частицы, вместо угла вылета  $\gamma$ -кванта вводились новые параметры, определяющие импульсы и углы вылета электрона и позитрона. В работе <sup>2/</sup> приводится распределение параметров  $x$  и  $y$  для далитцевского распада  $\pi^0$ :

$$F(x, y) dx dy = \frac{1}{x} \left(1 - \frac{x^2}{2}\right)^3 \left(1 + y^2 + \frac{4m^2}{x^2}\right) dx dy,$$

где  $x$  - суммарная масса электрона и позитрона,  $y = \frac{|q_+ - q_-|}{q_+ + q_-} / \frac{p_{\pi^0}}{m}$ ,  $q_\pm$  - импульс и энергия позитрона и электрона соответственно в системе  $\pi^0$ ,  $m$  - масса электрона.

Моделирование этих параметров позволяет вычислить импульсы электрона и позитрона в системе  $\pi^0$ . Для перехода в лабораторную систему моделировались еще следующие параметры:

$Z$  - косинус угла вылета позитрона,

$X$  - угол поворота импульса электрона относительно импульса позитрона /поскольку угол разлета однозначно определяется энергиями этих частиц/.

Тогда энергии и импульсы частиц в лабораторной системе получаются обычными лоренцовыми преобразованиями:

энергия пиона  $E_\pi = \frac{E_K \epsilon_\pi + p_K q_\pi z_\pi}{M} / \epsilon_\pi$  - энергия пиона в системе  $K$ ,  $E_K$  и  $p_K$  - энергия и импульс  $K$ -мезона в лабораторной системе; энергия позитрона  $E_+ = \frac{q_+ p_\pi z + \epsilon_+ E_\pi}{\mu} / p_\pi$  - импульс пиона в лабораторной системе; косинус угла разлета электрона и позитрона в лабораторной системе  $\cos \omega = \frac{E_+ E_- - (\epsilon_+ \epsilon_- - q_+ q_- \cos y)}{p_+ p_-}$  / $y$  - угол разлета тех же частиц в системе  $\pi^0$ /.

На рис. 3-5 приводятся полученные таким образом распределения. Как и в случае  $\pi^0 \rightarrow \gamma\gamma$  расчет проводился для трех значений импульса  $K$ -мезона:

$$p_K = 0; 500; 1000 \text{ Мэв/с.}$$

Здесь нужно отметить, что используемый метод позволяет учесть искажения, которые накладываются на распределения самим применяемым детектором - в данном случае трековой камерой.

К таким искажениям относится геометрический фактор <sup>3/</sup>, т.е. влияние геометрии камеры на экспериментальное распределение.

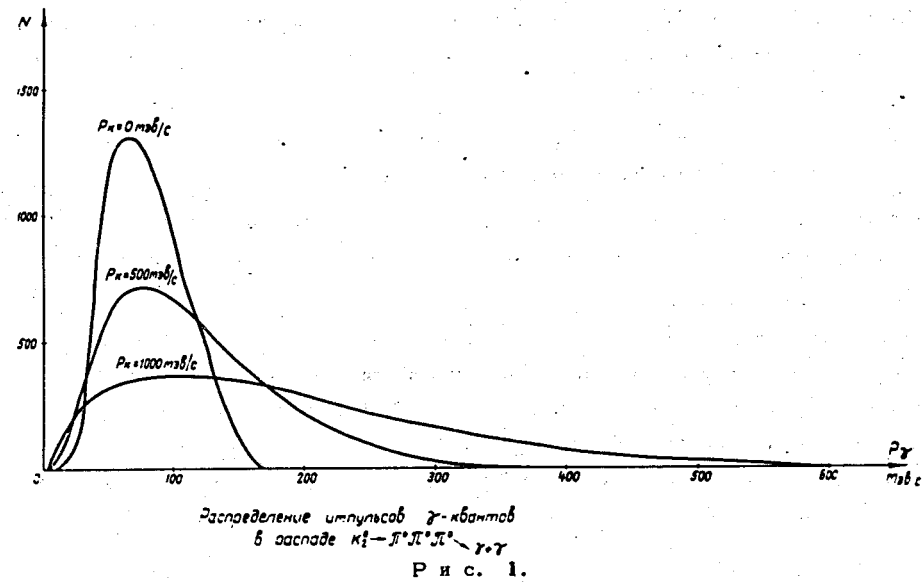
Искажение возникает также в том случае, когда в камере идентифицируются лишь электроны с энергией меньше какой-то определенной /идентификация по ионизации/.

При расчете методом Монте-Карло не представляет труда после моделирования одного события решить, будет ли оно зарегистрировано и идентифицировано в данной камере. В зависимости от этого оно включается или не включается в статистику, по которой строятся распределения. Это обстоятельство очень важно для определения вероятности распада  $K_2^0 \rightarrow 3\pi^0$ , так как при этом необходимо точно знать долю регистрируемых событий.

#### Литература

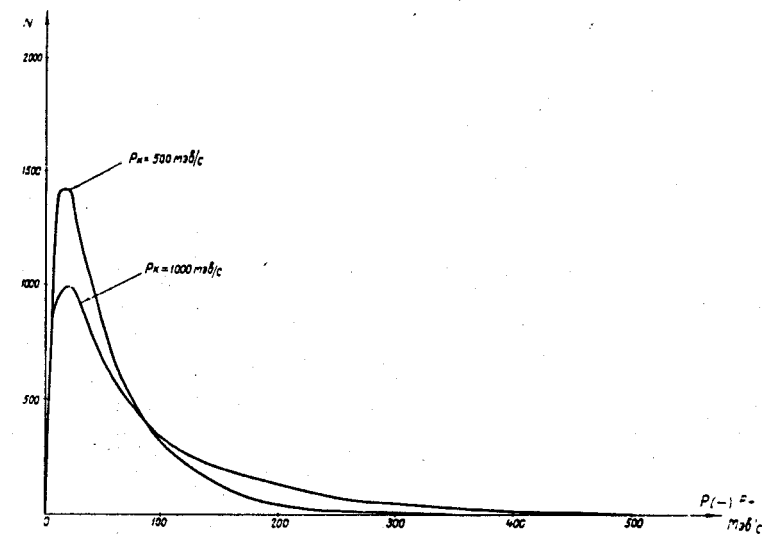
1. Н. Бусленко и др. Метод статистических испытаний. Физматгиз, 1962.
2. N. Kroll, W. Wada. Phys.Rev., 98, 1355 (1955).
3. Н. Мельникова. ПТЭ, № 1, 32-6 /1962/.

Рукопись поступила в издательский отдел  
6 января 1964 г.



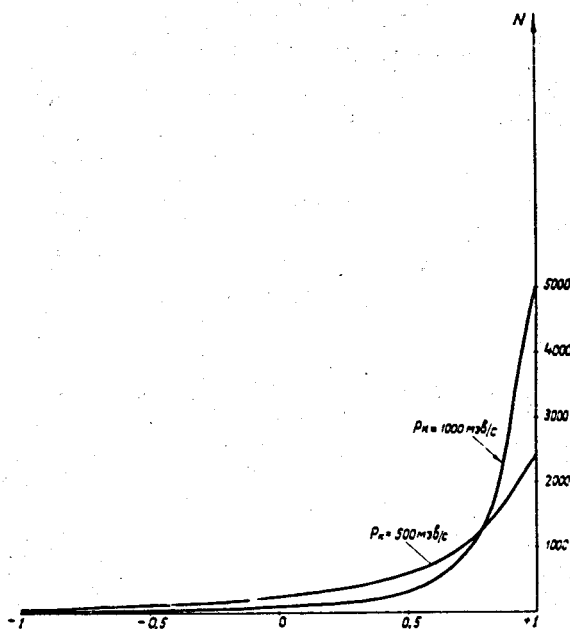
Распределение импульсов  $\gamma$ -квантов  
в распаде  $K^+ - \pi^+ \pi^- \gamma + \gamma$

Рис. 1.



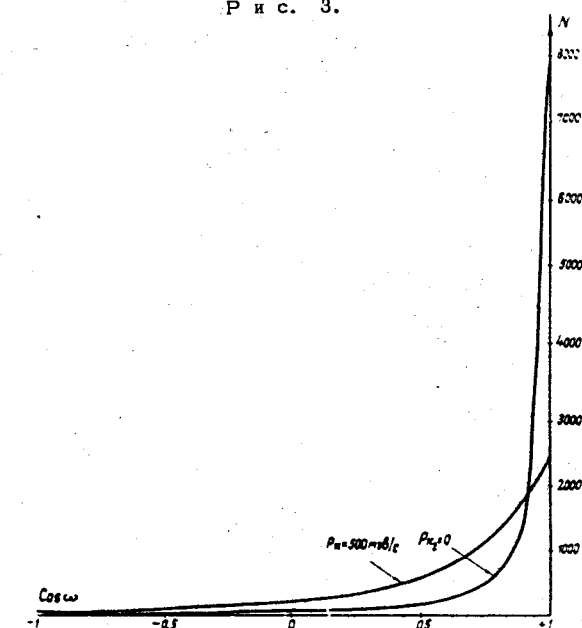
Распределение импульсов электрона ( $P_-$ )  
в распаде  $K^+ - \pi^+ \pi^- e^+ - e^-$

Рис. 3.



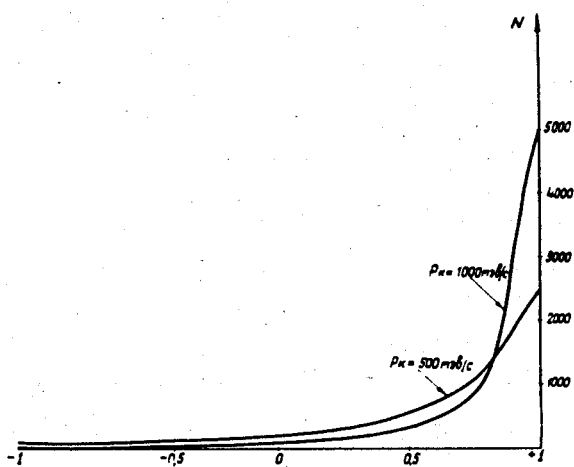
Распределение  
косинусов углов выброса  $\gamma$ -кванта ( $\theta_\gamma$ )  
в распаде  $K^+ - \pi^+ \pi^- \gamma + \gamma$

Рис. 2.



Распределение косинусов углов разлета ( $\omega$ )  
в распаде  $K^+ - \pi^+ \pi^- e^+ - e^-$

Рис. 4.



Распределение  
косинусов углов биения электрона (в)  
в снопе  $Ki = \pi^{\frac{1}{2}} \cdot e \cdot e^{-r}$

Рис. 5.